

Энергетика возбуждения сверхосцилляций, близких к гармоническим

И. В. Доронин^{+*1)}, А. А. Пухов^{+**×}, А. П. Виноградов^{+**×}

⁺Московский физико-технический институт (государственный университет), 141700 Долгопрудный, Россия

^{*}Всероссийский научно-исследовательский институт автоматики им. Н.Л. Духова, 127055 Москва, Россия

[×]Институт теоретической и прикладной электродинамики РАН, 125412 Москва, Россия

Поступила в редакцию 17 августа 2017 г.

После переработки 30 августа 2017 г.

Исследованы энергетические затраты для создания временного цуга сверхосцилляций, близких к гармоническим. Показано, что мощность источников, необходимая для создания цуга таких сверхосцилляций экспоненциально растет как с ростом числа периодов в цуге, так и с увеличением частоты сверхосцилляций.

DOI: 10.7868/S0370274X17190110

1. Введение. Функции, имеющие ограниченный спектр, являются наиболее часто встречающимся объектом в физике. Предположение о том, что такие функции могут осциллировать на конечном промежутке времени значительно *быстрее максимальной частотной составляющей* (в строгой формулировке теоремы – сколь угодно быстро), кажется контринтуитивным. Однако, как это было показано в [1] и [2], такие функции существуют, и была указана процедура их построения.

Простейшим примером сверхосциллирующей функции является $f(t) = (\cos t + i\nu \sin t)^N$ [3], где N – натуральное число, а ν – действительное. Легко видеть, что функция представима в виде суммы $f(t) = \sum_{j=-N}^N a_j \exp(itj)$, т.е. спектр $f(t)$ ограничен, а наибольшая частота спектра равна N . Однако при достаточно малых t получаем $f(t) \approx \exp(i\nu Nt)$ [3], это означает, что функция является сверхосциллирующей и имеет эффективную частоту $\nu N \gg N$.

Данное явление получило название сверхосцилляций (СО) и нашло множество применений. Так, например, в квантовой задаче рассеяния показано [4], что частица с малым импульсом, проходя через щель, может приобретать большой импульс, если ее волновая функция сверхосциллирует в области щели, а в [5] предсказана возможность передачи атому большого импульса электромагнитным полем с малым волновым вектором. В [6] показано, что за счет СО классического поля двухуровневая система с частотой перехода ω может быть возбуждена импуль-

сом электромагнитного излучения, спектр которого представлен узкими линиями с частотами, меньшими ω .

В радиофизике явление СО предлагается использовать для улучшения разрешающей способности радара. Так, в [7, 8] рассмотрен сигнал, состоящий из n гармоник, частоты которых ω_j меньше некоторой ω_{\max} . Если в этом случае взять амплитуды гармоник равными друг другу, то получится сигнал вида $\sin(2\pi\omega_{\max}t)/2\pi\omega_{\max}t$. Однако в [7, 8] амплитуды гармоник подобраны так, чтобы $f(t)$ содержала узкий пик, ширина которого на уровне 3 дБ на 36% меньше, чем ширина $\approx 0.6/\omega_{\max}$ на полувысоте сигнала $\sin(2\pi\omega_{\max}t)/2\pi\omega_{\max}t$. Сигнал такой формы может быть использован в радаре для более точного определения дистанции до цели.

Наряду с временными существуют пространственные СО, что открывает возможности преодоления дифракционного предела разрешения в микроскопии [9–12] и получения сверхнаправленности антенн [13].

Препятствием к практическому применению СО является быстрый рост мощности источника, требуемой для генерации сверхосциллирующего сигнала [14, 15] при увеличении частоты и количества периодов сверхосцилляций.

Количественные исследования этого вопроса относятся к области квантовой механики. Так, при синтезе быстро осциллирующей на некотором интервале волновой функции из функций вида $\sin(\mu t)/\mu t$, энергия и спектр которых ограничены, общая энергия растет экспоненциально с ростом длины интервала

¹⁾e-mail: ildoron2@gmail.com

и полиномиально с ростом частоты сверхосцилляций [14, 15].

Часто применения СО связаны с оптикой и радиофизикой, где базисными функциями являются бесконечные гармоники, имеющие бесконечную энергию. Для возможности экспериментальной постановки задачи мы рассмотрели сверхосцилляции поля, складывающегося в фиксированной точке пространства из полей низкочастотных излучателей. Очевидно, что прямой перенос результатов [14, 15] на этот случай невозможен.

В данной статье рассматривается возможность получения на конечном временном интервале близких к гармоническим сверхосцилляций. В качестве базиса используются обычные гармоники. Исследуются необходимые для получения таких СО интенсивности излучения отдельных источников. Показано, что как при увеличении частоты СО, так и при увеличении числа периодов СО необходимая мощность источников растет экспоненциально.

2. Построение сверхосциллирующей функции. Следуя [7, 8], будем строить СО функцию частоты ω_{SO} , аппроксимируя на интервале $[0; \tau]$ функцию $\cos(\omega_{SO}t)$ суммой низкочастотных косинусов с верхней частотой ω_{max} . Таким образом, СО функция имеет вид

$$f(t) = \sum_{j=1}^n a_j \cos(\omega_j t),$$

где $\mathbf{a} = \{a_j\}$ ($j = 1, \dots, n$) – амплитуды полей низкочастотных источников в рассматриваемой точке, ω_j ($j = 1, \dots, n$) – их частоты, причем $\omega_n = \omega_{max}$. Поскольку $\cos(t)$ – четная функция, то такую аппроксимацию можно автоматически продолжить на интервал $[-\tau; \tau]$.

Задача аппроксимации определяется двумя безразмерными параметрами: отношением частоты СО к максимальной частоте, ω_{SO}/ω_{max} , и числом периодов СО $p = \tau\omega_{SO}/\pi$. Введем невязку

$$Q(\omega_{SO}/\omega_{max}, p, \mathbf{a}) = \|f(t) - \cos(\omega_{SO}t)\|_{L_2}^2/\tau, \quad (1)$$

где $\|\cdot\|_{L_2}$ – L_2 -норма функции на отрезке $[0; \tau]$, т.е. $\|g(t)\|_{L_2} = \sqrt{\int_0^\tau |g(t)|^2 dt}$.

В работах [14, 15] в качестве энергии сигнала используется выражение $\int_{-\infty}^{\infty} f^2(t) dt$. В нашем случае такое определение неприменимо, поскольку используемые базисные функции не убывают на бесконечности. Вместо этого будем рассматривать величину

$E = \sum_{j=1}^n a_j^2$, которая равна суммарной интенсивности излучения источников в точке наблюдения.

3. Алгоритм поиска сверхосциллирующей функции. Нашей целью является нахождение СО функции с приемлемой невязкой при минимальной суммарной интенсивности. Понятно, что конкретные требования к размеру невязки зависят от приложения. Разумным представляется выбор $0.001 < Q(\omega_{SO}/\omega_{max}, p) < 0.15$. При этом СО функция достаточно близко воспроизводит косинус, отношение ω_{SO}/ω_{max} может достигать двадцати, а число периодов пяти–семи. Для определенности выберем $Q(\omega_{SO}/\omega_{max}, p) = 0.03$. Типичная СО функция $f(t)$ с таким значением невязки и ее фурье-образ $F(\omega)$ представлены на рис. 1 и 2.

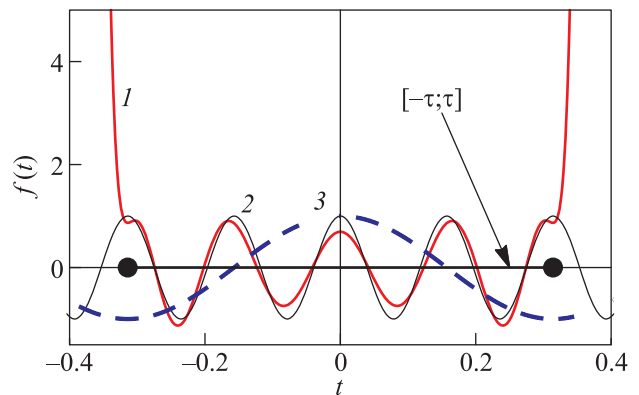


Рис. 1. (Цветной онлайн) Сверхосциллирующая функция $f(t)$ для $\omega_{SO} = 40$, $\omega_{max} = 10$, $p = 4$: 1 – $f(t)$, 2 – $\cos(\omega_{SO}x)$, 3 – низкочастотная гармоника с наибольшей частотой. Невязка $Q(4, 4) \approx 0.03$

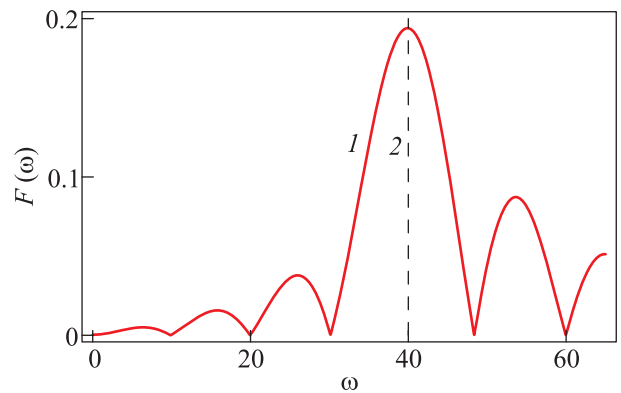


Рис. 2. (Цветной онлайн) Спектр $F(\omega)$ СО функции для $\omega_{SO} = 40$, $\omega_{max} = 10$, $p = 4$, $Q \approx 0.03$ (кривая 1). Линия 2 соответствует частоте ω_{SO}

Для определения $E(\mathbf{a}) = \sum_{j=1}^n a_j^2$ мы искали минимум функции

$$L(\mathbf{a}) = \sum_{j=1}^n a_j^2 - \lambda \times \quad (2)$$

$$\times \left((\tau)^{-1} \int_0^\tau \left(\sum_{j=1}^n a_j \cos(\omega_j t) - \cos(\omega_{SO} t) \right)^2 dt - 0.03 \right),$$

при заданной невязке $Q(\omega_{SO}/\omega_{\max}, p, \mathbf{a}) = 0.03$. Выражение (2) – это функция Лагранжа, а λ – соответствующий множитель Лагранжа.

Чтобы найти условный минимум функции, надо приравнять нулю производные $L(\mathbf{a})$ по $a_j, j = 1, \dots, n$ и по λ . Условие равенства нулю производных сводится к системе уравнений:

$$\begin{cases} (\tau/\lambda)a_i + \sum_{j=1}^n a_j \int_0^\tau \cos(\omega_i t) \cos(\omega_j t) dx = \\ = \int_0^\tau \cos(\omega_{SO} t) \cos(\omega_i t) dt, \quad i = 1, \dots, n; \\ Q(\omega_{SO}/\omega_{\max}, p, \mathbf{a}(\lambda)) - 0.03 = 0. \end{cases} \quad (3)$$

Решение системы (3) сводится к поиску λ , при котором $Q(\omega_{SO}/\omega_{\max}, p, \mathbf{a}(\lambda)) = 0.03$. В свою очередь $\mathbf{a}(\lambda)$ является решением системы

$$\begin{aligned} (\tau/\lambda)a_i + \sum_{j=1}^n a_j \int_0^\tau \cos(\omega_i t) \cos(\omega_j t) dx = \\ = \int_0^\tau \cos(\omega_{SO} t) \cos(\omega_i t) dt, \quad i = 1, \dots, n. \end{aligned} \quad (4)$$

Система (4) имеет единственное решение для любого λ . Действительно, матрица $\left\{ \int_0^\tau \cos(\omega_i t) \cos(\omega_j t) dt \right\}_{ij}$ является матрицей Грама для векторов $\cos(\omega_j t), j = 1, \dots, n$ с введенным выше скалярным произведением. Поскольку $\cos(\omega_j t)$ линейно независимы, то детерминант матрицы не равен нулю, и система (4) всегда имеет единственное решение [16].

4. Рост суммарной интенсивности излучения источников при изменении частоты и длины интервала сверхосцилляций. Рассмотрим зависимость E от величин $\omega_{SO}/\omega_{\max}$ и p . Результат оптимизации изображен на рис. 3. Поскольку E может изменяться на много порядков, то удобно перейти в логарифмический масштаб и рассматривать величину $\log_{10} E = \log_{10} \left(\sum_{j=1}^n a_j^2 \right)$. Как следует из рис. 3,

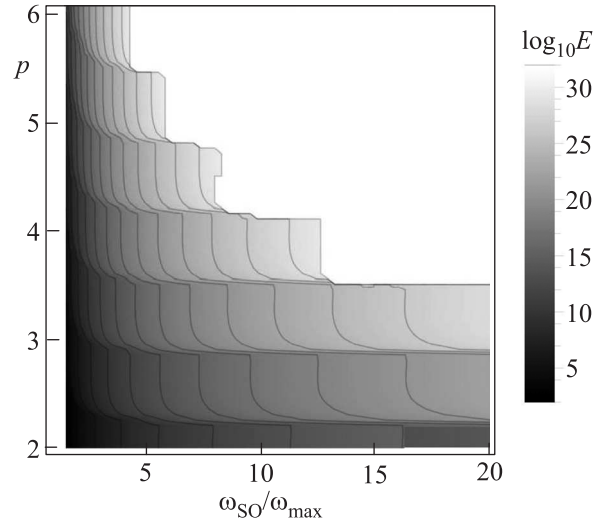


Рис. 3. $\log_{10} E$ при фиксированной невязке $Q = 0.03 \pm \pm 0.01$ в зависимости от количества СО в цепи p и от отношения частоты СО к максимальной частоте спектра $\omega_{SO}/\omega_{\max}$

при фиксированном соотношении частот E растет скачкообразно при увеличении длины интервала аппроксимации τ . Величина E при фиксированном p растет как $\exp(g(\omega_{SO}/\omega_{\max}))$, где $g(x)$ – медленно возрастающая функция $\sim \sqrt{x}$ (рис. 4).

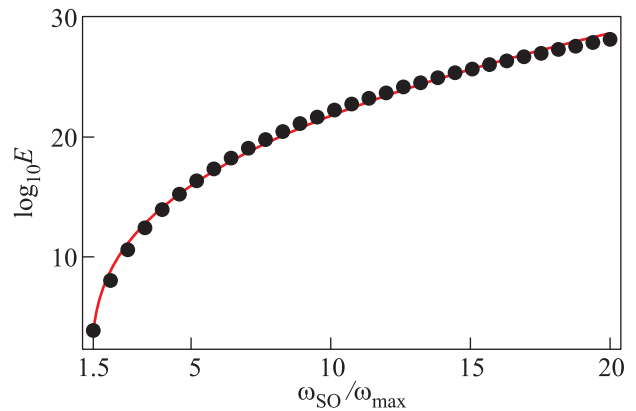


Рис. 4. (Цветной онлайн) Зависимость $\log_{10} E$ от соотношения частот при постоянной длине $p = 3.3$. Точки – результаты аппроксимации гармоник, сплошная кривая – модель с параметрами $c = 10.2, d = 1.5$

Как упоминалось ранее, рост E в зависимости от p происходит скачкообразно на несколько порядков (рис. 5). Для любого фиксированного $\omega_{SO}/\omega_{\max}$ скачки $\log_{10} E$ одинаковы по значению и равноудалены по p , что позволяет аппроксимировать искомую зависимость следующим образом: $\log_{10} E(p) \approx ap - b + e(p)$; $a, b > 0$, здесь $e(p)$ – периодическая функция, такая, что $e(p) \ll \log_{10} E$.

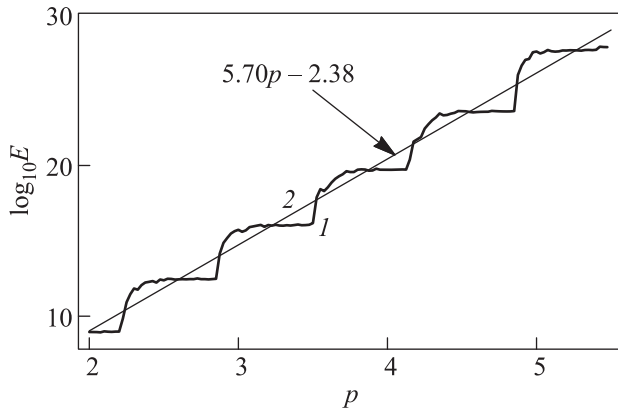


Рис. 5. Зависимость суммарной интенсивности E , необходимой для создания цуга СО от длины p , при $\omega_{\text{CO}}/\omega_{\text{max}} = 5$: результаты численного моделирования (1) и сглаженная зависимость вида $ap - b$ (2)

Вторым параметром, влияющим на величину E , является отношение СО частоты к верхней частоте спектра $\omega_{\text{CO}}/\omega_{\text{max}}$. Вдали от скачка E по p , полученные результаты хорошо приближаются зависимостью вида $\log_{10} E = c(\omega_{\text{CO}}/\omega_{\text{max}} - d)^{0.36}$ с параметрами $c, d > 0$. Пример для $p = 3.3$ изображен на рис. 4. С увеличением p рост E связан с ростом параметра c . Параметр d меняется в небольших пределах, $d \approx 1.5$.

5. Заключение. Получены характерные требования к суммарной интенсивности источников, создающих в точке наблюдения сигнал, содержащий СО с заданным отклонением от чистой гармоники (заданная невязка). Показано, что для $Q \approx 0.03$ СО визуально соответствуют чистой гармонике, и увеличение длины цуга при фиксированной частоте приводит к экспоненциальному увеличению суммарной интенсивности источников $E \sim \exp(ap + b)$. При этом увеличение интенсивности E происходит скачками.

При увеличении частоты СО при фиксированном p интенсивность E растет как $\exp(b(\omega_{\text{CO}}/\omega_{\text{max}})^{0.36})$.

Авторы выражают благодарность В.П. Крайнову за обсуждение полученных результатов.

1. Y. Aharonov, J. Anandan, S. Popescu, and L. Vaidman, *Phys. Rev. Lett.* **64**, 2965 (1990).
2. M. V. Berry, *J. Phys. A: Mathematical and General* **27**, 391 (1994).
3. M. V. Berry and S. Popescu, *J. Phys. A: Mathematical and General* **39**, 6965 (2006).
4. A. Kempf and P. J. S. G. Ferreira, *J. Phys. A: Mathematical and General* **37**, 12067 (2004).
5. S. M. Barnett and M. V. Berry, *J. Optics* **15**, 6 (2013).
6. D. G. Baranov, A. P. Vinogradov, and A. A. Lisiansky, *Opt. Lett.* **39**, 6316 (2014).
7. A. M. H. Wong and G. V. Eleftheriades, *IEEE Microwave and Wireless Components Lett.* **22**, 147 (2012).
8. A. M. H. Wong and G. V. Eleftheriades, *IEEE Transactions on Information Theory* **59**, 2173 (2011).
9. N. I. Zheludev, *Nature Materials* **7**, 420 (2008).
10. F. M. Huang and N. I. Zheludev, *Nano Lett.* **9**, 1249 (2009).
11. N. I. Zheludev, *J. Optics A: Pure and Appl. Opt.* **11**, 074009 (2009).
12. E. T. F. Rogers and N. I. Zheludev, *J. Optics* **15**, 094008 (2013).
13. A. M. H. Wong and G. V. Eleftheriades, *IEEE Antennas and Wireless Propagation Lett.* **9**, 315 (2010).
14. P. J. S. G. Ferreira and A. Kempf, *IEEE Transactions on Signal Proc.* **54**, 3732 (2006).
15. P. J. S. G. Ferreira and A. Kempf, *11th Europ. Signal Proc. Conf.*, Toulouse (2002), p. 347.
16. Ф. Р. Гантмахер, *Теория матриц*, Физматлит, М. (2004), с. 215.